

Starkniederschlagshöhen und -spenden gemäß KOSTRA-DWD-2010R

Auswertungszeitraum von 1951 - 2010, Januar - Dezember

Rasterfeld: 15060

Zeile: 15

Spalte: 60

Seite: 1/2

| Dauerstufe D | | Wiederkehrzeit T | | | | | | | | | | | | | | | | | |
|--------------|-----|------------------|------------|------|------------|------|------------|------|------------|------|------------|------|------------|------|------------|------|------------|-------|------------|
| | | 1 a | | 2 a | | 3 a | | 5 a | | 10 a | | 20 a | | 30 a | | 50 a | | 100 a | |
| min | Std | mm | l / (s ha) | mm | l / (s ha) | mm | l / (s ha) | mm | l / (s ha) | mm | l / (s ha) | mm | l / (s ha) | mm | l / (s ha) | mm | l / (s ha) | mm | l / (s ha) |
| 5 | | 4,3 | 143,3 | 5,4 | 180,0 | 6,1 | 203,3 | 6,9 | 230,0 | 8,1 | 270,0 | 9,3 | 310,0 | 9,9 | 330,0 | 10,8 | 360,0 | 11,9 | 396,7 |
| 10 | | 6,8 | 113,3 | 8,5 | 141,7 | 9,5 | 158,3 | 10,8 | 180,0 | 12,5 | 208,3 | 14,2 | 236,7 | 15,2 | 253,3 | 16,5 | 275,0 | 18,2 | 303,3 |
| 15 | | 8,5 | 94,4 | 10,7 | 118,9 | 11,9 | 132,2 | 13,5 | 150,0 | 15,7 | 174,4 | 17,9 | 198,9 | 19,1 | 212,2 | 20,7 | 230,0 | 22,9 | 254,4 |
| 20 | | 9,7 | 80,8 | 12,3 | 102,5 | 13,8 | 115,0 | 15,6 | 130,0 | 18,2 | 151,7 | 20,8 | 173,3 | 22,2 | 185,0 | 24,1 | 200,8 | 26,7 | 222,5 |
| 30 | | 11,3 | 62,8 | 14,5 | 80,6 | 16,4 | 91,1 | 18,8 | 104,4 | 22,0 | 122,2 | 25,3 | 140,6 | 27,1 | 150,6 | 29,5 | 163,9 | 32,8 | 182,2 |
| 45 | | 12,7 | 47,0 | 16,8 | 62,2 | 19,1 | 70,7 | 22,1 | 81,9 | 26,2 | 97,0 | 30,3 | 112,2 | 32,7 | 121,1 | 35,7 | 132,2 | 39,8 | 147,4 |
| 60 | | 13,5 | 37,5 | 18,3 | 50,8 | 21,1 | 58,6 | 24,7 | 68,6 | 29,5 | 81,9 | 34,3 | 95,3 | 37,1 | 103,1 | 40,7 | 113,1 | 45,5 | 126,4 |
| 90 | | 14,8 | 27,4 | 19,9 | 36,9 | 22,9 | 42,4 | 26,6 | 49,3 | 31,7 | 58,7 | 36,8 | 68,1 | 39,8 | 73,7 | 43,5 | 80,6 | 48,6 | 90,0 |
| 120 | 2 | 15,9 | 22,1 | 21,1 | 29,3 | 24,2 | 33,6 | 28,1 | 39,0 | 33,4 | 46,4 | 38,7 | 53,8 | 41,8 | 58,1 | 45,6 | 63,3 | 50,9 | 70,7 |
| 180 | 3 | 17,4 | 16,1 | 23,0 | 21,3 | 26,2 | 24,3 | 30,3 | 28,1 | 35,9 | 33,2 | 41,5 | 38,4 | 44,7 | 41,4 | 48,8 | 45,2 | 54,4 | 50,4 |
| 240 | 4 | 18,6 | 12,9 | 24,4 | 16,9 | 27,8 | 19,3 | 32,0 | 22,2 | 37,8 | 26,3 | 43,6 | 30,3 | 47,0 | 32,6 | 51,3 | 35,6 | 57,0 | 39,6 |
| 360 | 6 | 20,5 | 9,5 | 26,6 | 12,3 | 30,1 | 13,9 | 34,6 | 16,0 | 40,7 | 18,8 | 46,8 | 21,7 | 50,4 | 23,3 | 54,9 | 25,4 | 61,0 | 28,2 |
| 540 | 9 | 22,5 | 6,9 | 28,9 | 8,9 | 32,7 | 10,1 | 37,4 | 11,5 | 43,9 | 13,5 | 50,3 | 15,5 | 54,1 | 16,7 | 58,8 | 18,1 | 65,2 | 20,1 |
| 720 | 12 | 24,0 | 5,6 | 30,7 | 7,1 | 34,6 | 8,0 | 39,5 | 9,1 | 46,2 | 10,7 | 52,9 | 12,2 | 56,8 | 13,1 | 61,8 | 14,3 | 68,5 | 15,9 |
| 1080 | 18 | 26,4 | 4,1 | 33,4 | 5,2 | 37,6 | 5,8 | 42,8 | 6,6 | 49,8 | 7,7 | 56,9 | 8,8 | 61,0 | 9,4 | 66,2 | 10,2 | 73,3 | 11,3 |
| 1440 | 24 | 28,2 | 3,3 | 35,5 | 4,1 | 39,8 | 4,6 | 45,2 | 5,2 | 52,6 | 6,1 | 59,9 | 6,9 | 64,2 | 7,4 | 69,6 | 8,1 | 76,9 | 8,9 |
| 2880 | 48 | 34,1 | 2,0 | 41,8 | 2,4 | 46,4 | 2,7 | 52,1 | 3,0 | 59,8 | 3,5 | 67,5 | 3,9 | 72,1 | 4,2 | 77,8 | 4,5 | 85,5 | 4,9 |
| 4320 | 72 | 38,1 | 1,5 | 46,1 | 1,8 | 50,7 | 2,0 | 56,6 | 2,2 | 64,6 | 2,5 | 72,6 | 2,8 | 77,2 | 3,0 | 83,1 | 3,2 | 91,1 | 3,5 |

Angaben in mm: Bemessungsniederschlagswerte h(n)

Angaben in l / (s ha): Regenspende R(n) mit $R(n) = h(n) \times 1,666667 / D[\text{min}]$

Toleranzbereiche:

+/- 10 % für $1 \text{ a} \leq T \leq 5 \text{ a}$

+/- 15 % für $5 \text{ a} < T \leq 50 \text{ a}$

+/- 20 % für $50 \text{ a} < T \leq 100 \text{ a}$

Datenbasis: KOSTRA-DWD-2010R des Deutschen Wetterdienstes. Die Regenspende wurde auf Basis des Bemessungsniederschlags zur jeweiligen Andauer berechnet.

Für die Richtigkeit und Aktualität der Angaben wird keine Gewähr übernommen. Erstellt 07/2022.

Starkniederschlagshöhen und -spenden gemäß KOSTRA-DWD-2010R

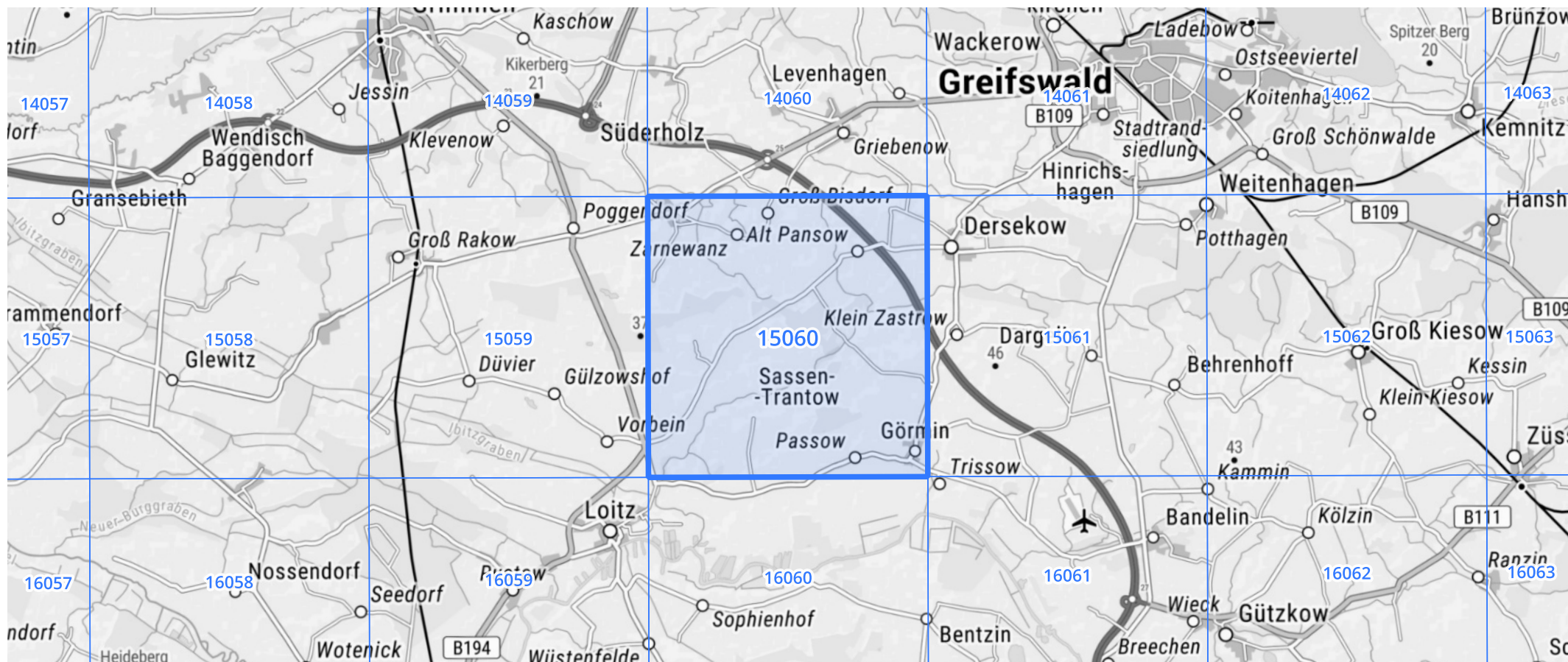
Auswertungszeitraum von 1951 - 2010, Januar - Dezember

Rasterfeld: 15060

Zeile: 15

Spalte: 60

Seite: 2/2



Quelle Rasterdaten: KOSTRA-DWD-2010R des Deutschen Wetterdienstes.

Kartendarstellung: © Bundesamt für Kartographie und Geodäsie (2022), Datenquellen: https://sgx.geodatenzentrum.de/web_public/gdz/datenquellen/Datenquellen_TopPlusOpen.html

Für die Richtigkeit und Aktualität der Angaben wird keine Gewähr übernommen. Erstellt 07/2022.